

ИДЕНТИФИКАЦИЯ ОДНО- И ДВУХЭЛЕКТРОННЫХ ПРИМЕСНЫХ ЦЕНТРОВ В ПОЛУПРОВОДНИКАХ МЕТОДОМ МЕССБАУЭРОВСКОЙ СПЕКТРОСКОПИИ

© В.Ф.Мастеров, Ф.С.Насрединов, С.А.Немов, П.П.Серегин

Санкт-Петербургский государственный технический университет,
195251 Санкт-Петербург, Россия

(Получена 21 июня 1995 г. Принята к печати 5 июля 1995 г.)

Методом мессбауэровской спектроскопии на изотопах ^{57}Fe и ^{119}Sn продемонстрирована зависимость зарядового состояния примесных атомов железа в соединениях $\text{A}^{\text{III}}\text{B}^{\text{V}}$ (GaP , GaAs), а также примесных атомов олова в халькогенидах свинца (PbS , PbSe , PbTe) и индия (In_2S_3) от положения химического потенциала в запрещенной зоне полупроводника; идентифицированы нейтральные и ионизованные состояния примесных атомов. Показано, что примесные атомы железа в соединениях $\text{A}^{\text{III}}\text{B}^{\text{V}}$ образуют одноэлектронные уровни, а примесные атомы олова в халькогенидах свинца и индия — двухэлектронные уровни; определен знак корреляционной энергии для двухэлектронных центров олова.

1. Введение

Мессбауэровская спектроскопия является эффективным методом исследования примесных атомов в полупроводниках. Параметры мессбауэровских спектров позволяют определять зарядовое состояние примесных атомов, их электронную структуру, симметрию локально-го окружения и образование различного рода ассоциатов примесных атомов с дефектами решетки. Подавляющая часть таких исследований относится к примесным атомам железа и олова, что в первую очередь объясняется относительной простотой экспериментального исполнения мессбауэровской спектроскопии на изотопах ^{57}Fe и ^{119}Sn , а также ее высокой информативностью именно для этих изотопов [1].

Уже в первых работах, посвященных мессбауэровским исследованиям примесных атомов в таких классических полупроводниках как Ge [2], Si [3], соединениях $\text{A}^{\text{III}}\text{B}^{\text{V}}$ [4,5], были сделаны попытки связать параметры мессбауэровских спектров с положением уровня химического потенциала (χ_{II}) в запрещенной зоне материала. Однако они оказались неудачными, что объясняется недостатками в постановке эксперимента [1].

В настоящей работе возможности мессбауэровской спектроскопии используются для идентификации нейтральных и ионизованных состояний примесных атомов, образующих одно- и двухэлектронные уровни в запрещенной зоне полупроводников. В качестве объектов исследования были выбраны соединения $A^{III}B^V$ (GaP, GaAs), легированные ^{57}Co , и халькогениды свинца и индия (PbS , PbSe , PbTe , In_2S_3), легированные оловом. Использовались эмиссионный ($^{57}\text{Co}(^{57m}\text{Fe})$) и абсорбционный (^{119}Sn) варианты мессбауэровской спектроскопии.

2. Методика эксперимента

Эмиссионные мессбауэровские спектры $^{57}\text{Co}(^{57m}\text{Fe})$ снимались на промышленном спектрометре ЯГРС-4 при 295 К. В качестве стандартного поглотителя использовался $\text{K}_4\text{Fe}(\text{CN})_6\text{H}_2\text{O}$ с поверхностью плотностью 0.05 мг/см² по ^{57}Fe . Исследуемые образцы GaP и GaAs, легированные ^{57}Co , служили источниками.

Для исследования были использованы монокристаллические образцы GaP и GaAs *n*- и *p*-типов ($n \approx 10^{18}$ см⁻³, $p \approx 10^{18}$ см⁻³ при 295 К). На поверхность образца из аммиачного раствора безносительного препарата $^{57}\text{CoCl}_2$ электролитически осаждался кобальт, и образцы подвергались диффузионному отжигу. После диффузии образцы обрабатывались в смеси HF и HNO₃ для удаления непродиффундированного ^{57}Co , а затем с поверхности удалялся слой толщиной 150 мкм. Концентрация кобальта составляла $5 \cdot 10^{16}$ ат · см⁻³. Приготовленные таким образом образцы служили мессбауэровскими источниками для изучения состояния примесных атомов¹ в объеме.

Абсорбционные мессбауэровские спектры ^{119}Sn снимались при 80 К на промышленном спектрометре СМ-2201. В качестве стандартного источника использовался $\text{Ca}^{119m}\text{SnO}_3$. Исследуемые образцы халькогенидов свинца и индия, легированные оловом, служили поглотителями (поверхностная плотность 0.1 мг/см² по ^{119}Sn). За аппаратную ширину спектральной линии ^{119}Sn принималась ширина мессбауэровского спектра ^{119}Sn указанного источника с поглотителем CaSnO_3 при $\Gamma_{app} = 0.76(2)$ мм/с.

Твердые растворы на основе халькогенидов свинца получали сплавлением исходных компонент полупроводниковой чистоты в вакуумированных кварцевых ампулах с последующим отжигом вначале слитков, а затем спрессованных порошков при 650°C в течение 120 ч. Образцы были однофазными и имели структуру типа NaCl. В качестве донорной примеси использовался избыточный по отношению к стехиометрическому составу («сверхстехиометрический») свинец, а в качестве акцепторных примесей — натрий и таллий. Исходная шихта составлялась в предположении, что примесные атомы олова, натрия и таллия замещают атомы свинца, так что состав образцов может быть записан в виде $\text{Pb}_{1-x-y}\text{Sn}_x\text{A}_y\text{S}_{1-z}\text{Te}_z$ и $\text{Pb}_{1-x-y}\text{Sn}_x\text{A}_y\text{Se}_{1-z}\text{Te}_z$ (здесь A — натрий или таллий).

Монокристаллические образцы сульфида индия были синтезированы методом газотранспортных реакций в парах иода. В качестве источника использовался поликристаллический In_2S_3 (стехиометриче-

ский или легированный оловом). Образцы были однофазными и имели структуру β -модификации.

Изомерные сдвиги мессбауэровских спектров $^{57}\text{Co}(^{57m}\text{Fe})$ приводятся относительно $\alpha\text{-Fe}$, а спектров ^{119}Sn — относительно SnO_2 .

3. Экспериментальные результаты и их обсуждение

3.1. Одноэлектронные акцепторные центры железа в GaP и GaAs. Представления о поведении примесных атомов в полупроводниках достаточно традиционны: при замещении примесным атомом атома решетки в запрещенной зоне полупроводника образуется либо донорный, либо акцепторный уровень, способный при изменении положения ХП отдавать или принимать один электрон (так называемые «одноэлектронные» центры).

Для глубоких центров, например для примесей 3d-металлов, реальная картина более сложна, так как требуется учет взаимодействия между электронами, находящимися на одном центре. Однако число электронов, находящихся на таком центре, хорошо описывается распределением Ферми на некотором уровне с определенной энергией ионизации (которая, впрочем, отличается от энергии электронных термов). В частности, примесные атомы железа и кобальта в широкозонных соединениях $A^{III}B^V$ (GaP, GaAs) замещают атомы третьей группы и образуют в запрещенной зоне глубокие акцепторные уровни, лежащие на несколько десятых долей эВ выше вершины валентной зоны [6]. Авторы [7] методом электронного парамагнитного резонанса наблюдали в GaAs, легированном железом, нейтральные акцепторные центры железа $[\text{Fe}]^0$ с электронной конфигурацией $3d^5$.

Растворимость железа в соединениях $A^{III}B^V$ невелика (порядка $5 \cdot 10^{17} \text{ см}^{-3}$ [1]), и поэтому для мессбауэровских исследований возможен лишь эмиссионный вариант спектроскопии: в исследуемые образцы вводится радиоактивный изотоп ^{57}Co , после распада которого образуется мессбауэровский зонд ^{57m}Fe , причем в этом случае концентрация атомов железа много меньше концентрации атомов кобальта и положение ХП в запрещенной зоне полупроводника определяется положением энергетических уровней, образуемых примесными атомами кобальта и атомами дополнительной примеси (цинка — для дырочных образцов и теллура — для электронных образцов), а также соотношением концентраций указанных примесей.

Следовательно, только нейтральные центры железа $[\text{Fe}]^0$ должны наблюдаться в спектрах дырочных образцов (когда ХП находится вблизи вершины валентной зоны), но только ионизованные центры железа $[\text{Fe}]^-$ — в электронных образцах (когда концентрация доноров больше концентрации кобальта и ХП находится вблизи дна зоны проводимости). Как видно из рис. 1, мессбауэровские спектры дырочных и электронных образцов представляют собой одиночные несколько уширенные линии ($\Gamma = 0.50(2) \text{ мм/с}$) с различающимися изомерными сдвигами в дырочных ($\delta = 0.36(1) \text{ мм/с}$ для GaP и $\delta = 0.52(1) \text{ мм/с}$ для GaAs) и в электронных образцах ($\delta = 0.75(1) \text{ мм/с}$ для GaP и $\delta = 0.77(1) \text{ мм/с}$ для GaAs). Если справедливо вышеприведенное рассмотрение для

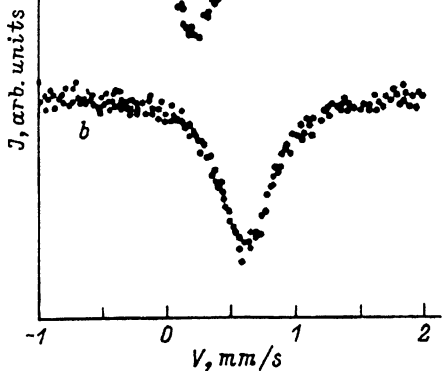


Рис. 1. Эмиссионные мессбауэровские спектры примесных атомов ^{57}Co (^{57m}Fe) в дырочном (a) и электронном (b) GaP.

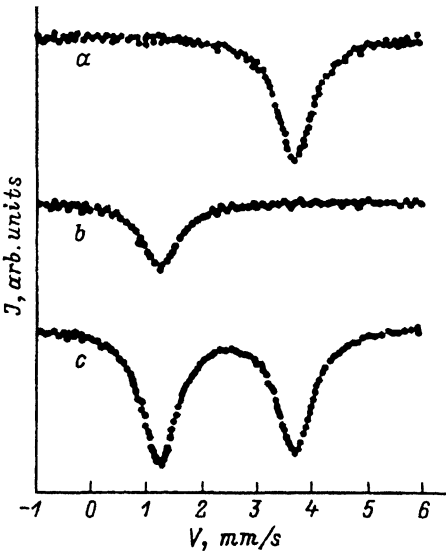


Рис. 2. Мессбауэровские спектры примесных атомов ^{119}Sn в $\text{Pb}_{1-x-y}\text{Sn}_x\text{A}_y\text{S}$. Символом А обозначены акцепторы Na или Tl; a — $x = 0.01$, $y = 0$; b — $x = 0.005$, $y = 0.01$; c — $x = 0.02$, $y = 0.02$.

примесных атомов кобальта и железа в соединениях $\text{A}^{\text{III}}\text{B}^{\text{V}}$, то линию в спектрах дырочных образцов следует отнести к нейтральным акцепторным центрам железа $[\text{Fe}]^0$ (изомерный сдвиг δ_n), а линию в спектрах электронных образцов — к ионизованным акцепторным центрам железа $[\text{Fe}]^-$ (сдвиг δ_i). Величины δ_n типичны для изомерных сдвигов мессбауэровских спектров соединений трехвалентного железа с электронной конфигурацией $3d^5$ и, следовательно, в согласии с данными [7], центры $[\text{Fe}]^0$ имеют электронную конфигурацию, близкую к $3d^5$.

Возрастание изомерного сдвига мессбауэровских спектров $^{57}\text{Co}(^{57m}\text{Fe})$ при переходе от центров $[\text{Fe}]^0$ к центрам $[\text{Fe}]^-$ свидетельствует об уменьшении электронной плотности на ядрах ^{57}Fe . Последнее объясняется тем, что ионизация акцепторного центра железа сопровождается увеличением заселенности $3d$ -оболочки железа, причем для количественной оценки изменения изомерного сдвига $\Delta = \delta_n - \delta_i$ можно воспользоваться соотношением

$$\Delta = \alpha (|\Psi_n(0)|^2 - |\Psi_i(0)|^2), \quad (1)$$

где α — калибровочная константа (согласно [8] $\alpha = 0.23a_0^{-3}$ мм/с), $|\Psi_n(0)|^2$, $|\Psi_i(0)|^2$ — электронные плотности на ядрах ^{57}Fe для центров $[\text{Fe}]^0$ и $[\text{Fe}]^-$, a_0 — боровский радиус.

Если приписать центрам $[\text{Fe}]^0$ электронную конфигурацию $3d^5$, а центрам $[\text{Fe}]^-$ — электронную конфигурацию $3d^6$, то, воспользовавшись расчетами $|\Psi(0)|^2$ авторов [9], можно получить ожидаемое значение $\Delta^{th} = 0.58$ мм/с. Эта величина существенно отличается от экспериментальных значений Δ как для GaP ($\Delta = 0.39(2)$ мм/с), так и для

GaAs ($\Delta = 0.25(2)$ мм/с). Наиболее очевидны две причины расхождения наблюдаемых и расчетных величин Δ . Во-первых, 3d-орбитали примесных атомов железа несколько большего размера, чем в свободном атоме. Во-вторых, в расчетах не учтена отличная от нуля заселенность 4s-орбитали железа, которая изменяется при переходе от $[Fe]^0$ к $[Fe]^-$.

3.2. Двухэлектронные донорные центры олова в халькогенидах свинца и индия. Впервые Хаббард [10] провел теоретический анализ поведения точечных дефектов, способных при взаимодействии с кристаллической решеткой отдавать или принимать два электрона («двухэлектронные центры»). В запрещенной зоне полупроводников в этом случае образуются две полосы локализованных состояний, разделенных на величину внутриатомной энергии (энергия Хаббарда, или корреляционная энергия)

$$U = W - E, \quad (2)$$

где E и W — первая и вторая энергия ионизации центра. Если $U < 0$, то возникает схема уровней, для обозначения которой приняты термины «двуэлектронные центры с отрицательной корреляционной энергией» или « U^- -центры». Существенной особенностью U^- -центров является неустойчивость их промежуточного (однократно ионизованного) зарядового состояния. Каждой паре однократно ионизованных центров энергетически выгодно распасться на один нейтральный и один двукратно ионизованный центры. В равновесии концентрация U^- -центров в промежуточном зарядовом состоянии всегда экспоненциально (т. е. пропорционально $\exp(U/2kT)$) мала по сравнению с их полной концентрацией.

Идеология U^- -центров в общем виде была использована Андерсоном [11] для объяснения электрических, оптических и магнитных свойств аморфных материалов, а Кастанер с соавт. [12] модифицировали ее для халькогенидных стеклообразных полупроводников. С U^- -центрами отождествляются хорошо известные в кристаллических полупроводниках $A^{III}B^V$ резонансные состояния примеси индия [13] и дискутируется вопрос о принадлежности к U^- -центрам состояний примеси таллия [14].

Однако несмотря на успешное использование указанных представлений, двухэлектронные центры с отрицательной корреляционной энергией не наблюдались прямыми экспериментальными методами [15].

3.2.1. Халькогениды свинца и твердые растворы на их основе.

3.2.1.1. Сульфид свинца PbS. Олово является изоэлектронной примесью в PbS и, согласно электрическим измерениям, действует как донор [16, 17]. Поэтому только нейтральные состояния центров олова $[Sn]^0$ должны наблюдаться в образцах n -типа, когда ХП находится вблизи дна зоны проводимости (заряды центров в обозначениях $[Sn]$ приводятся относительно заряда атомов свинца). В качестве таких образцов были выбраны соединения $Pb_{1-x}Sn_xS$ ($x = 0.01$), содержащие $\sim 3 \cdot 10^{18}$ см $^{-3}$ сверхстехиометрического свинца. Введение сверхстехиометрического свинца сопровождается появлением электронов проводимости, и поэтому указанные образцы оказались электронными

($n = 3.5 \cdot 10^{18} \text{ см}^{-3}$ при 80 К). Мессбауэровские спектры таких образцов представляют собой одиночные линии (см. рис. 2,а) аппаратной ширины ($\Gamma = 0.77(2) \text{ мм/с}$), изомерный сдвиг которых ($\delta = 3.70(2) \text{ мм/с}$) соответствует двухвалентному олову Sn^{2+} .

Только ионизованное состояния центров [Sn] должно наблюдаться в компенсированных дырочных образцах, когда ХП находится вблизи верха валентной зоны. В качестве таких образцов были выбраны соединения $\text{Pb}_{1-x-y}\text{Sn}_x\text{A}_y\text{S}$ ($x = 0.005$, $y = 0.01$). Здесь А это акцепторные примеси Na или Tl, которые дают по одной дырке на атом вплоть до концентраций $p \simeq 10^{20} \text{ см}^{-3}$. Типичный мессбауэровский спектр такого образца представляет собой одиночную линию (см. рис. 2,б) аппаратной ширины ($\Gamma = 0.78(2) \text{ мм/с}$), изомерный сдвиг которой ($\delta = 1.25(2) \text{ мм/с}$) соответствует четырехвалентному олову Sn^{4+} . При этом образцы хотя и были p -типа, но концентрация дырок в них ($6 \cdot 10^{13} \text{ см}^{-3}$ при 80 К и 10^{17} см^{-3} при 295 К) оказалась значительно ниже концентрации акцепторов.

Мессбауэровские спектры образцов $\text{Pb}_{1-x}\text{Sn}_x\text{S}$ и $\text{Pb}_{1-x-y}\text{Sn}_x\text{A}_y\text{S}$ могут быть объяснены, если предположить, что примесные атомы олова замещают атомы свинца в кубической решетке PbS и образуют донорные состояния, энергия ионизации которых соответствует уровню в нижней половине запрещенной зоны. Такой вывод согласуется с рентгеноструктурными данными, согласно которым твердые растворы замещения $\text{Pb}_{1-x}\text{Sn}_x\text{S}$ существуют в области составов $0 < x < 0.1$ [12]. Таким образом, в мессбауэровских спектрах линия двухвалентного олова Sn^{2+} отвечает нейтральным $[\text{Sn}]^0$, а линия четырехвалентного олова Sn^{4+} — двукратно ионизованным $[\text{Sn}]^{2+}$ состояниям донорного центра олова $[\text{Sn}]$ в PbS. Изменяя соотношение концентраций олова и акцепторов (Na или Tl) в PbS, можно получить в мессбауэровском спектре любое контролируемое соотношение интенсивностей линий Sn^{2+} и Sn^{4+} . В частности, на рис. 2,с приведен спектр частично компенсированного образца $\text{Pb}_{1-x-y}\text{Sn}_x\text{A}_y\text{S}$ ($x = 0.02$, $y = 0.02$, причем $p = 6 \cdot 10^{13} \text{ см}^{-3}$ при 80 К и $p = 6 \cdot 10^{16} \text{ см}^{-3}$ при 295 К), который представляет собой суперпозицию двух линий: Sn^{2+} ($\delta = 3.70(2) \text{ мм/с}$) и Sn^{4+} ($\delta = 1.25(2) \text{ мм/с}$) примерно одинаковой интенсивности.

Так как олово в PbS является изоэлектронной примесью, перезарядка такой примеси в зависимости от положения ХП в запрещенной зоне полупроводника само по себе является аномальным явлением. Дополнительная особенность заключается в том, что изомерные сдвиги соответствуют изменению зарядов атомов олова на две единицы. В связи с этим интересна возможность приписать линии в мессбауэровских спектрах, отвечающих ионизованным донорным центрам олова, не четырехвалентному состоянию Sn^{4+} (согласно с величиной изомерного сдвига), а трехвалентному состоянию Sn^{3+} (это состояние не наблюдается в соединениях олова, но оно не может быть исключено для примесных атомов). Однако такая интерпретация противоречила бы наблюдающейся зависимости относительной интенсивности линий Sn^{2+} и Sn^{4+}

$$R = J_n / J_i = f_n N_n / f_i N_i \quad (3)$$

в мессбауэровских спектрах образцов $Pb_{1-x-y}Sn_xA_yS$ от соотношения концентрации олова и акцепторов (здесь J_n, J_i — интенсивности линий в мессбауэровских спектрах, отвечающих нейтральным и ионизованным состояниям донорного центра олова, N_n, N_i — концентрации этих центров, f_n, f_i — коэффициенты Мессбауэра для этих центров).

Действительно, выражение для R может быть записано в виде

$$R = k \frac{f_n}{f_i} \frac{N}{N_a - p} - \frac{f_a}{f_i}, \quad (4)$$

где N, N_a — концентрация олова и акцептора соответственно, $k = 1$, если ионизованный центр олова соответствует Sn^{3+} (уравнение электронейтральности $N_n = N_a - p$), или $k = 2$, если ионизованный центр олова соответствует Sn^{4+} (уравнение электронейтральности $2N_n = N_a - p$). Экспериментальная зависимость R от $N/(N_a - p)$ для твердых растворов $Pb_{1-x-y}Sn_xA_yS$ показана на рис. 3. Использованы образцы с составом, указанным в таблице.

Основные параметры образцов

x	y	$N/(N_a - p)$	R
$Pb_{1-x-y}Sn_xA_yS$			
$p = 6 \cdot 10^{13} \text{ см}^{-3}$			
0.02	0.02	1.0	0.92(5)
0.0125	0.02	0.625	0.30(5)
0.005	0.01	0.50	0.00(5)
$Pb_{1-x-y}Sn_xA_ySe$			
$p = 3 \cdot 10^{19} \text{ см}^{-3}$			
0.01	0.01	1.19	1.25(5)
0.02	0.02	1.11	1.20(5)
0.01	0.02	0.56	0.16(5)

Видно, что экспериментальные данные хорошо описываются зависимостью (4) с $k = 2$ (причем величиной p можно принебречь, так как $p \ll N_a$). Следовательно, ионизованным донорным центрам олова в PbS отвечает четырехвалентное состояние Sn^{4+} . Экстраполяция экспериментальной прямой к $N/(N_a - p) = 0$ позволяет определить $f_n/f_i = 0.93(2)$.

Таким образом, примесные атомы олова в PbS находятся в регулярных узлах катионной подрешетки и являются двухэлектронными донорами $[Sn]^{2+}$. Отсутствие в мессбауэровских спектрах частично компенсированных образцов линии Sn^{3+} указывает на то, что олово образует в PbS двухэлектронные донорные центры с отрицательной корреляционной энергией, т. е. энергия однократной ионизации этих центров больше, чем половина энергии его двукратной ионизации. Наконец, дырочный характер проводимости и отсутствие вырождения

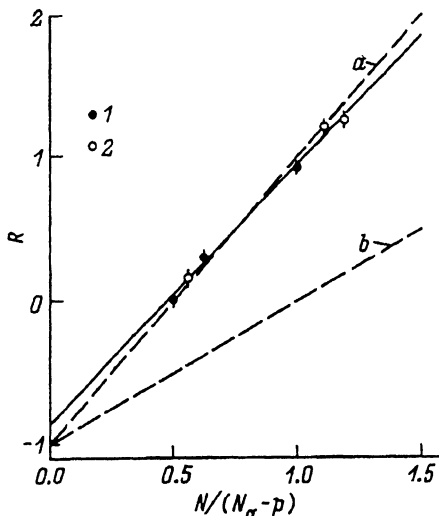


Рис. 3. Зависимость R (относительной интенсивности линий Sn^{2+} и Sn^{4+}) от $N/(N_a - p)$ для $\text{Pb}_{1-x-y}\text{Sn}_x\text{A}_y\text{S}$ (1) и $\text{Pb}_{1-x-y}\text{Sn}_x\text{A}_y\text{Se}$ (2). Штриховые линии показывают теоретические зависимости для случаев, когда олово является двухэлектронным (а) и одноэлектронным (б) центром. Сплошная линия проведена через экспериментальные точки по методу наименьших квадратов.

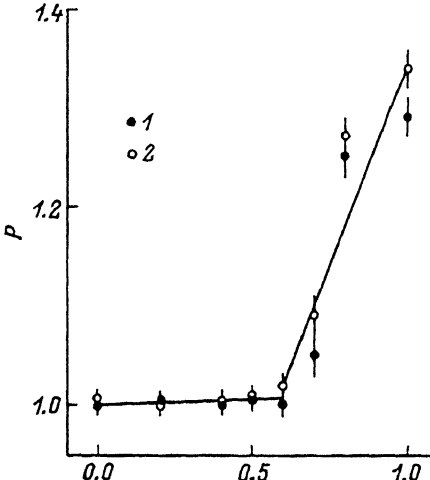


Рис. 4. Зависимость отношения $P = N_n/N_i$ от z для твердых растворов $\text{Pb}_{1-x-y}\text{S}_{1-z}\text{Se}_z\text{Sn}_x\text{A}_y$. Символ А — то же, что и на рис. 2. Составы по примесям равны ($x = y$) и составляют: 1 — 0.01, 2 — 0.02.

для образцов $\text{Pb}_{1-x-y}\text{Sn}_x\text{A}_y\text{S}$ указывает на то, что ХП, связанный с системой донорных уровней олова, находится в нижней половине запрещенной зоны полупроводника (а, следовательно, и донорные уровни олова находятся в нижней половине запрещенной зоны).

3.2.1.2. Селенид свинца PbSe . Только нейтральное состояние донорных центров олова в PbSe наблюдается в электронных образцах (не легированных акцепторной примесью). В частности, мессбауэровский спектр образца $\text{Pb}_{1-x}\text{Sn}_x\text{Se}$ ($x = 0.01$, $n = 2 \cdot 10^{18} \text{ см}^{-3}$ при 80 и 295 К) представляет собой одиночную линию, изомерный сдвиг которой ($\delta = 3.65(2) \text{ мм/с}$) отвечает двухвалентному олову Sn^{2+} . Этот спектр относится к нейтральным донорным центрам олова $[\text{Sn}]^0$.

Для компенсированного дырочного образца $\text{Pb}_{1-x-y}\text{Sn}_x\text{A}_y\text{Se}$ ($N_a = 2N$, $x = 0.01$, $y = 0.02$, $p = 3 \cdot 10^{19} \text{ см}^{-3}$ при 80 и 295 К) экспериментальный спектр представляет собой не одиночную линию, соответствующую $[\text{Sn}]^{2+}$, а суперпозицию линий Sn^{4+} ($\delta = 1.58(2) \text{ мм/с}$) и Sn^{2+} ($\delta = 3.63(2) \text{ мм/с}$), причем $R = 0.16(5)$. Полностью ионизованные центры олова могут быть получены только в образцах $\text{Pb}_{1-x-y}\text{Sn}_x\text{A}_y\text{Se}$, в которых концентрация акцепторов существенно превышает удвоенную концентрацию доноров. В частности, в мессбауэровском спектре образца с $x = 0.005$, $y = 0.02$ присутствует только линия Sn^{4+} ($\delta = 1.52(2) \text{ мм/с}$, $\Gamma = 0.76(2) \text{ мм/с}$). Такая ситуация объясняется тем, что для PbSe система уровней, связанная с центрами олова, находится на фоне валентной зоны. Это приводит к тому, что и ХП, привязанный

к частично заполненному уровню олова, также находится в валентной зоне, а концентрация дырок оказывается сравнимой с концентрацией акцепторов. Поэтому для описания зависимости R от концентраций олова и акцепторов, типа (4), в отличие от твердых растворов на основе PbS необходимо учитывать концентрацию дырок. Для построения экспериментальной зависимости на рис. 3 использованы составы $\text{Pb}_{1-x-y}\text{Sn}_x\text{A}_y\text{Se}$, указанные в таблице.

Как видно из рис. 3, экспериментальные данные для $\text{Pb}_{1-x}\text{Sn}_x\text{A}_y\text{Se}$ хорошо описываются зависимостью (4) с $k = 2$. Экстраполяция зависимости (4) на рис. 3 к $N/(N_a - p) = 0$ позволяет определить отношение $f_n/f_i = 0.93(1)$, причем это отношение одинаково для PbS и PbSe. Таким образом, для четырехвалентного состояния Sn^{4+} коэффициент Мессбауэра оказывается выше, чем для двухвалентного состояния Sn^{2+} . Этот факт не является неожиданным, так как всегда для соединений четырехвалентного олова величины f больше, чем для однотипных соединений двухвалентного олова.

3.2.1.3. Теллурид свинца PbTe. Наряду с оловом дополнительно вводилась акцепторная примесь (Na или Tl). Содержание олова варьировалось в пределах $0.005 < x < 0.03$, дополнительный акцептор вводился в количествах $0 < y < 0.02$. Все образцы обладали дырочной проводимостью с концентрацией дырок $p \simeq 10^{19} - 10^{20} \text{ см}^{-3}$.

Оказалось, что при любых соотношениях концентраций олова и акцепторов в мессбауэровских спектрах наблюдается только одна линия, отвечающая двухвалентному олову Sn^{2+} . Это означает, что энергетические уровни олова лежат на фоне состояний валентной зоны глубоко под уровнем ХП, глубже максимально допустимых значений ХП в PbTe, легированном Tl или Na (т. е. больше 0.2 эВ относительно вершины валентной зоны в точке L зоны Бриллюэна).

3.2.1.4. Твердые растворы $\text{PbS}_{1-z}\text{Se}_z$. Таким образом, мы установили, что в PbS и PbSe изоэлектронная примесь олова является двухэлектронным донором с отрицательной корреляционной энергией. Переход от PbS к PbSe сопровождается изменением относительно вершины валентной зоны положения энергетических уровней, связанных с центром олова: в PbS эти уровни лежат в нижней половине запрещенной зоны, а в PbSe — на фоне валентной зоны. Естественно, возникает вопрос о положении этих уровней в твердых растворах $\text{PbS}_{1-z}\text{Se}_z$. Для ответа на этот вопрос мы исследовали твердые растворы $\text{PbS}_{1-z}\text{Se}_z$: $\langle \text{Sn}, \text{A} \rangle$ ($z = 0, 0.2, 0.4, 0.5, 0.6, 0.7, 0.8, 1.0$), для которых выдерживались одинаковые концентрации олова (x) и акцепторной примеси A (y): $x = y = 0.02$ или $x = y = 0.01$. Символом A обозначены натрий, таллий. Все образцы имели дырочную проводимость, причем для составов с $z < 0.6$ концентрация носителей зависела от температуры, а в составах с $z > 0.7$ газ носителей заряда был вырожденным. Для выбранного соотношения концентраций олова и акцепторов можно ожидать в мессбауэровских спектрах две линии (Sn^{2+} и Sn^{4+}) одинаковой интенсивности. Однако оказалось, что для всех составов $R \neq 1.00$. Может быть две причины отклонения R от значения 1.00: во-первых, различие величин f_n и f_i ; и, во-вторых, существенная концентрация дырок в том случае, если уровни олова лежат на фоне валентной зоны. Если использовать определенное выше отношение $f_n/f_i = 0.93$, то для твердых растворов $\text{PbS}_{1-z}\text{Se}_z$ можно определить величину отно-

шения $P = N_n/N_i$. Как видно из рис. 4, для $z < 0.6$ имеем $P = 1.00(1)$, т. е. для твердых растворов с $z < 0.6$ уровни олова лежат в нижней половине запрещенной зоны. Для $z > 0.7$ имеем $P > 1$ (см. рис. 4), т. е. для твердых растворов с $z > 0.7$ уровни лежат на фоне валентной зоны. Таким образом, мессбауэровская спектроскопия позволяет качественно устанавливать положение энергетических уровней, образуемых примесными атомами олова в твердых растворах $\text{PbS}_{1-z}\text{Se}_z$.

3.2.1.5. Твердые растворы $\text{PbTe}_{1-z}\text{S}_z$. Учитывая, что состояния олова в PbTe находятся глубоко в валентной зоне, а в PbS — в запрещенной зоне, можно ожидать их смещения в окрестности уровня ХП в твердых растворах $\text{PbTe}_{1-z}\text{S}_z$. Для фиксации положения ХП наряду с оловом вводилась примесь Tl, создающая относительно узкую полосу частично заполненных резонансных состояний в валентной зоне, энергетическое положение которой слабо зависит во всем диапазоне составов твердых растворов.

Оказалось, что в мессбауэровских спектрах твердых растворов с содержанием серы $z > 0.15$ наблюдаются две линии, соответствующие двух- и четырехвалентному олову (например, мессбауэровский спектр образца $\text{Pb}_{1-x-y}\text{Sn}_x\text{A}_y\text{Te}_{0.8}\text{S}_{0.2}$ ($x = 0.01$, $y = 0.02$) представляет собой суперпозицию линий Sn^{2+} и Sn^{4+} , причем для Sn^{2+} $\delta = 3.67(2)$ мм/с, для Sn^{4+} $\delta = 1.58(2)$ мм/с и $R = 0.67(5)$). Таким образом, создавая твердые растворы $\text{PbTe}_{1-z}\text{S}_z : \text{Sn}$, удается «поднять» из глубины валентной зоны примесные состояния олова к уровню ХП и наблюдать эффекты, связанные с изменением зарядового состояния олова.

3.2.2. Сульфид индия In_2S_3 . Температурная зависимость электропроводности In_2S_3 , выращенного из стехиометрического источника, описывается двумя экспонентами с энергиями активации 0.45 и 0.20 эВ (см. рис. 5). Отжиг такого образца в парах серы (700°C в течение 3 ч) приводит к изменению энергий активации электропроводности (0.33 и 0.12 эВ). Легирование In_2S_3 оловом (0.5 ат%) приводит к резкому увеличению электропроводности, причем энергия активации для таких образцов равна 0.1 эВ (рис. 5).

Мессбауэровский спектр образца состава $\text{In}_2\text{S}_3 + 0.5$ ат% Sn представляет собой суперпозицию двух компонент (рис. 6, кривая *a*) — одиночной линии (с изомерным сдвигом $\delta = 3.75(2)$ мм/с) и квадрупольного дублета (с изомерным сдвигом $\delta = 1.10(2)$ мм/с и квадрупольным расщеплением $W = 0.70(3)$ мм/с, обе компоненты имеют несколько уширенные линии с $\Gamma = 0.90(3)$ мм/с). Первый спектр следует отнести к центрам Sn^{2+} в правильных тетраэдрических позициях, а второй — к центрам Sn^{4+} в слабо искаженных октаэдрических позициях решетки In_2S_3 .

Отжиг образцов In_2S_3 , легированных оловом в парах серы, сопровождается уменьшением электропроводности до значений, меньших, чем у нелегированных образцов, причем наблюдаются две энергии активации — 0.32 и 0.20 эВ (рис. 5, кривая *d*). Одновременно отжиг приводит к исчезновению в мессбауэровском спектре линии, отвечающей Sn^{2+} (рис. 6, кривая *b*).

Таким образом, примесь олова оказывается электрически активной в кристаллах In_2S_3 , что само по себе является неожиданным фактом, так как In_2S_3 принадлежит к числу так называемых полупроводников со стехиометрическими вакансиями, в которых отсутствует влияние

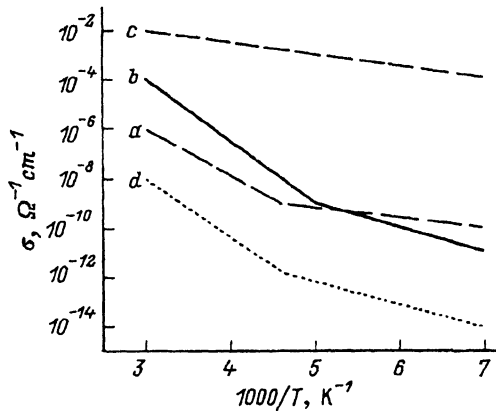


Рис. 5. Температурные зависимости проводимости In_2S_3 (а), In_2S_3 после отжига в парах серы (б), $\text{In}_2\text{S}_3 + 0.5\text{ ат}\%$ Sn (с), $\text{In}_2\text{S}_3 + 0.5\text{ ат}\%$ Sn после отжига в парах серы (д).

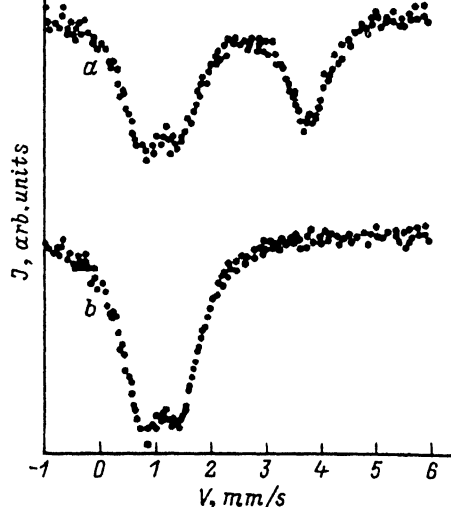


Рис. 6. Мессбауэровские спектры примесных атомов ^{119}Sn в $\text{In}_2\text{S}_3 + 0.5\text{ ат}\%$ Sn (а) и $\text{In}_2\text{S}_3 + 0.5\text{ ат}\%$ Sn после отжига в парах серы (б).

примесей на электрические свойства, и, в частности, нелегируемость In_2S_3 была продемонстрирована авторами [18] на примере примесей меди, кадмия и фосфора. Поскольку заряды двух состояний олова в In_2S_3 различаются на 2e и оба состояния наблюдаются одновременно в одном образце, заманчиво предположить, что олово в In_2S_3 образует двухэлектронные центры с отрицательной корреляционной энергией, подобные центрам олова в халькогенидах свинца. Однако такой интерпретации противоречит тот факт, что центры Sn^{2+} и Sn^{4+} находятся в решетке In_2S_3 в различных кристаллографических положениях. Правильнее считать тетраэдрические центры Sn^{2+} однократно ионизованными акцепторами $[\text{Sn}]^-$, а октаэдрические центры Sn^{4+} — однократно ионизованными донорами $[\text{Sn}]^+$ (степень ионизации примесных центров $[\text{Sn}]$ определяется при этом относительно ионов In^{3+} в тех же положениях). Равновесие между ионами Sn^{2+} и Sn^{4+} устанавливается при росте кристалла. Отжиг легированного образца в парах серы приводит к уменьшению концентрации анионных вакансий, являющихся центрами захвата электронов, и, как следствие, к росту концентрации ионизованных донорных центров олова. Указанные свойства примесных центров олова в In_2S_3 позволяют рассматривать их в качестве кристаллических аналогов заряженных дефектов, предложенных в [13] для описания электрических свойств халькогенидных стекол.

4. Заключение

В результате проведенного исследования продемонстрирована зависимость зарядового состояния примесных атомов железа в соединениях $\text{Al}^{\text{III}}\text{B}^{\text{V}}$ и примесных атомов олова в халькогенидах свинца и индия от положения уровня химического потенциала в полупроводнике,

идентифицированы нейтральные и ионизованные состояния примесных атомов, показано, что примесные атомы железа в соединениях $A^{III}B^V$ образуют одноэлектронные уровни, а примесные атомы олова в халькогенидах свинца и индия — двухэлектронные уровни, определен знак корреляционной энергии Хаббарда для двухэлектронных центров олова.

Работа выполнена при финансовой поддержке Российским фондом фундаментальных исследований (грант 96-02-16957-а).

Список литературы

- [1] А.Р. Регель, П.П. Серегин. ФТП, **18**, 1153 (1984).
- [2] P.C. Norem, G.K. Wertheim. J. Phys. Chem. Sol., **23**, 1111 (1962).
- [3] G. Bemskii, J.C. Fernandes. Phys. Lett. A, **131**, 231 (1970).
- [4] G. Bemskii, J.C. Fernandes. Phys. Lett., **6**, 10 (1963).
- [5] Г.Н. Белозерский, Ю.А. Немилов, С.Б. Томилов. ФТП, **7**, 3607 (1965).
- [6] A. Zunger. Sol. St. Phys., **39**, 275 (1986).
- [7] M. de Wit, T.L. Estle. Phys. Rev., **132**, 195 (1963).
- [8] K.T. Duff. Phys. Rev., **9**, 66 (1974).
- [9] J. Blomquist. J. Chem. Phys., **55**, 141 (1971).
- [10] J. Hubbard. Proc. Roy. Soc., **A277**, 237 (1964).
- [11] P.W. Anderson. Phys. Rev. Lett., **34**, 953 (1976).
- [12] A. Kastner. Phys. Rev. Lett., **37**, 1504 (1976).
- [13] В.И. Кайданов, Ю.И. Равич. УФН, **145**, 51 (1985).
- [14] В.И. Кайданов, С.А. Немов, Ю.И. Равич. ФТП, **26**, 201 (1992).
- [15] Н. Мотт, Э. Дэвис. Электронные процессы в некристаллических веществах (М., Мир, 1982).
- [16] Л.В. Прокофьева, М.Н. Виноградова, С.В. Зарубо. ФТП, **14**, 2201 (1980).
- [17] Н.Х. Абрикосов, Л.Е. Шелимова. Полупроводниковые материалы на основе соединений $A^{IV}B^{VI}$ (М., Наука, 1975).
- [18] W. Rehwald, G. Harbeker. J. Phys. Chem. Sol., **26**, 1307 (1965).

Редактор Т.А. Полянская

Identification of one- and two-electron impurity centers in semiconductors by the Mössbauer spectroscopy

V.F. Masterov, F.S. Nasredinov, S.A. Nemov, P.P. Seregin

State Technical University, 195251 St.Petersburg, Russia

The ^{57}Fe and ^{119}Sn Mössbauer spectroscopies showed the dependence of the impurity charge state on the Fermi level position within the forbidden gap of the semiconductor for iron impurity atoms in $A^{III}B^V$ compounds (GaAs, GaP) as well as for tin impurities in the lead (PbS, PbSe, PbTe) and indium (In_2S_3) chalcogenides. Neutral and ionized states of the impurities have been identified. An activity of iron in $A^{III}B^V$ compounds as a one-charged acceptor was confirmed. Tin impurities in the lead and indium chalcogenides were shown to form two-electron centers. The sign of the Hubbard energy for tin two-electron centers was found.